

(13) 折れ線近似による曲線橋の解析

日本鋼管株式会社 ○ 鈴木 敏夫
建設省東北地方建設局 上野 進一郎
東京大学工学部 西野 文雄

1. はじめに

曲率が軸線に沿って変化する一般的な曲線橋やアーチ橋を解析する場合、曲線部材に対する支配方程式を解くに際して、有限要素法に代表されるような数学的近似を行は、て曲線部材の数値解を直接求める方法と、物理的に曲線部材を直接部材の集合に置き換えたうえ、このモデルについて解く方法とが考えられる。有限要素法による解が厳密解に収束することは自明の事実と云える。これに対し実用設計では古くから後者を用いられているものの、その収束性を論じた報告は比較的少く、曲線材として最も簡単な一平面内で曲げと軸力を受ける円弧アーチ部材についての研究報告¹⁾がある程度である。この報告では形状を完全に考慮した有限要素モデルと折れ線モデルとのエネルギー・ノルムを評価し、収束性を論じている。

ここでは曲線橋、およびアーチの両者を考へ、2軸曲げ、ねじり、および軸力を受ける円弧部材を折れ線近似すると、折れ線の数を無限に増やしたとき、その解が円弧はりの解に収束することを、より直接的な剛性方程式の微分方程式への収束²⁾を用いて示す。直線材の剛性マトリックスとして、いわゆるはり理論の剛性マトリックスを用いると折れ線近似の剛性方程式が曲線材の微分方程式に収束するものの意味の明らかでない拘束条件が現われる。この困難を避けるため曲げモーメントや曲げねじりモーメントの変化にともなう存在するせん断変形、いわゆる二次せん断変形を考慮した直線はりの剛性マトリックスを用い、同じ変形を考慮した曲線材の微分方程式への収束を示す。

同じ手法で面内曲げを受ける円弧アーチの収束を調べた研究があるが³⁾、収束しないとの結論が述べられている。またせん断変形を考慮しない剛性マトリックスが用いられているが、すでに述べた拘束条件が存在するものと思われるにもかかわらず、これについて報告されていない。

円弧曲線はりの支配微分方程式については多くの報告があるが、二次せん断変形を考慮した式はみあたらぬ。剛性方程式の収束結果との比較のため、文献4)、5)の手法を用い、まず支配微分方程式を導く。ついで剛性方程式の同式への収束を示したうえ、簡単な例題について円弧要素を用いた曲線材の有限要素解と折れ線近似モデル解との数値計算を行ない、その結果を比較する。

2. 支配微分方程式

St. Venant のねじりによるせん断変形の他に、二次せん断変形と呼ばれる曲げおよび曲げねじりモーメントの変化にともなうせん断変形を考慮すると2軸曲げ、ねじり、軸力を受ける薄肉断面部材のひずみ状態に対する仮定は次のように表められる。

$$\epsilon_{nn} = 0 \quad \epsilon_{ss} = 0 \quad \gamma_{ns} = 0$$

$$r_{no} = l \frac{1}{r} r_u(\theta) + m \frac{1}{r} r_v(\theta) - h_s \frac{1}{r} r_\phi(\theta)$$

$$r_{se}^* = \left(\frac{r_s}{r^*} \right)^2 \frac{q_s^*}{G_t} - m^* \frac{1}{r^*} r_u(\theta) + l^* \frac{1}{r^*} r_v(\theta) + h_n^* \frac{1}{r^*} r_\phi(\theta)$$

----- (1. a~e)

座標および記号の一部を Fig. 1 に示す。 l , m

m は x , y 軸と S 軸との間の方向余弦、 r_u , r_v , r_ϕ はそれぞれ x , y 方向のせん断力、曲げねじれにともなうせん断力による変形に関する量である。 l , m は伸びおよびせん断ひずみ成分、 $*$ は板厚中心に關する量を示す記号である。 q_s^* / G_t はせん断捩れに関する積分定数であり、 h_n , h_s は S 点から任意

点 (x, y) にいたる位置ベクトルの法線方向、接線方向成分である。式(1)を満たす変位ベクトル α x , y , θ 方向成分 u , v , w は次のようになる。

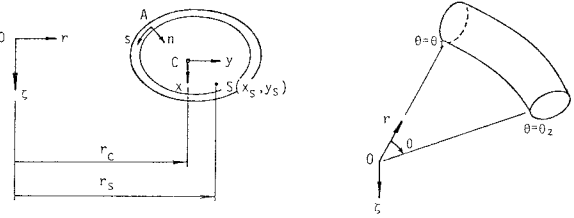


Fig. 1 Typical Cross Section and Coordinate Systems

$$u = u_s - (y - y_c)\psi \quad v = v_s + (x - x_c)\psi$$

$$w = w_c - (x - x_c) \left\{ \frac{u'_s - r_u}{r_c} + \frac{y_s - y_c}{r_s} \frac{v'_s - r_v}{r_c} - \frac{w'_c}{r_c} \right\} - (y - y_c) \frac{v'_s - r_v}{r_s} - w \left(\frac{\psi' - r_\phi}{r_s} - \frac{v'_s - r_v}{r_s^2} \right)$$

----- (2. a~c)

ここに u_s , v_s , w_c は積分定数であり、先元定義した変位ベクトルの成分を表す。 w は先に關する量でありせん断変形を無視した円弧(はり)と同じ⁴⁾になる。 $(\cdot)'$ は θ に関する微分を表す。式(2)を式(1)に代入し、積分定数 $r_s^2 q_s^* / G_t$ を開区間にについては端部でせん断応力が零、閉区間にについては w の連続性を用いて決めると、ひずみ分布は次のように表される。

$$\epsilon_{\theta\theta} = \frac{r_s}{r} \left\{ \left(\frac{w'_c}{r_s} + \frac{v'_s}{r_s} + \frac{y_s - y_c}{r_s} \psi \right) - (x - x_c) \frac{r_s}{r_c} \left(\frac{u''_s - r'_u}{r_s^2} + \frac{y_s - y_c}{r_s} \frac{v''_s - r'_v}{r_s^2} - \frac{w'_c}{r_s^2} \right) - (y - y_c) \left(\frac{u''_s - r'_u}{r_s} + \frac{\psi' - r'_\phi}{r_s} \right) - w \left(\frac{\psi' - r'_\phi}{r_s^2} - \frac{v''_s - r'_v}{r_s^2} \right) \right\}$$

$$r_{se} = \frac{r_s}{r} \text{ (4)} \left(\frac{\psi' - r'_\phi}{r_s} - \frac{v''_s - r'_v}{r_s^2} \right) - \frac{m}{r} r_u + \frac{l}{r} r_v + \frac{h_n}{r} r_\phi$$

$$r_{no} = \frac{l}{r} r_u + \frac{m}{r} r_v - \frac{h_s}{r} r_\phi$$

$$\epsilon_{ss} = \epsilon_{nn} = \epsilon_{sn} = 0$$

----- (3. a~f)

(4) は St. Venant のねじりに關する量であり、せん断変形を無視した円弧(はり)と同じ⁴⁾になる。

式(2), (3)を3次元問題に対する最も一般的な仮想仕事式に代入し、必要が演算を行なって整理すると、つり合い式および必要な境界条件が求まる。さらに応力ひずみ関係として

$$\sigma_{\theta\theta} = E \epsilon_{\theta\theta}, \quad \tau_{\theta x} = G \tau_{\theta x}, \quad \tau_{\theta y} = G \tau_{\theta y} \quad (4 \cdot a \sim c)$$

を仮定し用いると断面力と変位の関係が求まる。

式の形を簡単にするため、任意に選べるC, S点をそれぞれ曲げに対する中立点およびせん断中心に選び、さらにこれららの点が一致する断面を考える。折れ線近似モデルの収束性を調べるためにには分布荷重項は必要ないが、分布荷重の作用しない場合を考え、つり合い式、断面力-変位関係から断面力を消去するとせん断变形を考えた円弧部材に対する変位表示の支配方程式は次のように求まる。

$$EA(w'' + \frac{1}{R}v') + \frac{1}{R}EI_x\theta_x'' = 0, \quad EA(w' + \frac{1}{R}v) - REI_x\theta_x''' = 0$$

$$EI_w\lambda_\varphi''' - GJ_{ST}\lambda_\varphi' - GJ_{S1}(\varphi'' + \frac{1}{R}\theta_y' - \lambda_\varphi') + EI_y(r\theta_y''' - \varphi'') = 0$$

$$EI_w\lambda_\varphi'' - GJ_{ST}\lambda_\varphi' - GJ_{S1}(\varphi'' + \frac{1}{R}\theta_y' - \lambda_\varphi') - EI_y(\frac{1}{R}\theta_y' - \frac{1}{R^2}\varphi) = 0$$

$$GA(\theta_x + v' - \frac{1}{R}w) - EI_x\theta_x'' = 0, \quad GA(u'' - \theta_y') = 0$$

$$GI_{pe}(\varphi' + \frac{1}{R}\theta_y - \lambda_\varphi) + EI_w\lambda_\varphi'' - GJ_{ST}\lambda_\varphi - GJ_{S1}(\varphi' + \frac{1}{R}\theta_y - 2\lambda_\varphi) = 0$$

(5 · a ~ g)

ここに

$$\theta_x = -(v' - r_v - \frac{1}{R}w), \quad \theta_y = u' - r_u, \quad \lambda_\varphi = \varphi' - r_\varphi + \frac{1}{R}(u' - r_u)$$

(6 · a ~ c)

A, I, J等はそれぞれ曲線部材について定義された断面量⁴⁾である。

3. 折れ線近似モデルの曲がりばりの支配方程式への収束

曲がりばり、アーチ、ばかりのような曲線構造は、直線要素を連ねた折れ線構造で近似される事が多い。ここでは、円弧曲線ばかりを連続する直線要素の集合として近似し、直線要素の剛性マトリックスを用いて節点におけるつり合い式を導く。節点間距離を短くして行き、要素数を無限大にした時に、折れ線で表わした部材の剛性マトリックスを用いて求めた節点での変位表示のつり合い式が解析的に求めた式(5)に収束する事を示す。

円弧ばかりの軸線として、曲げモーメントに対する断面内の中立点⁴⁾を通る線を選び、変位、節点力等の未知関数をこの軸線上で定義する。Fig. 1 に示すように軸線をθ軸に選ぶ。断面の重心とせん断中心が一致する直線部材要素の剛性マトリックスは、面内挙動と面外挙動とで互いに独立しているので、演算の繁雑さを避けるため、別々に取扱う。



(1) 面内挙動

Fig. 2 に示す单一部材の、せん断変形を考慮した剛性マトリックスは次のようにある。

Fig. 2 Straight Beam Element for In-plane Problem

$$\bar{K} = \frac{EI_x}{(1+12\phi)l^3} \begin{bmatrix} \frac{A(1+12\phi)l^2}{I_x} & 0 & 0 & -\frac{A(1+12\phi)l^2}{I_x} & 0 & 0 \\ 12 & -6l & 0 & 0 & -12 & -6l \\ & (4+12\phi)l^2 & 0 & 6l & (2-12\phi)l^2 & \\ & \frac{A(1+12\phi)l^2}{I_x} & 0 & 0 & 0 & \\ \text{Sym.} & & 12 & 6l & & \\ & & & (4+12\phi)l^2 & & \end{bmatrix} \quad \dots \quad (7)$$

ここに

$$\phi = \frac{EI_x}{GA l^2} \quad \dots \quad (8)$$

隣接要素に対する節点力および節点変位の連続性を図るため、Fig. 3 に示すように座標変換を施す。
ψは円弧部材のはさみ角、nは分割数を表す。
節点力および節点変位成分に対する剛性方程式は

$$\begin{bmatrix} F_1 \\ F_2 \end{bmatrix} = [K] \begin{bmatrix} U_{11} \\ U_{12} \end{bmatrix} \quad \dots \quad (9)$$

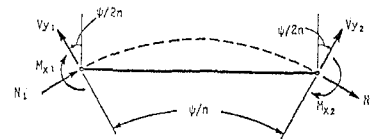


Fig. 3 Coordinate Transformation for In-plane Problem

$$[K] = \begin{bmatrix} K_{11} & K_{12} \\ K_{21} & K_{22} \end{bmatrix} = \begin{bmatrix} \Pi^T & \Phi \\ 0 & \Pi \end{bmatrix} [\bar{K}] \begin{bmatrix} \Pi & \Phi \\ 0 & \Pi^T \end{bmatrix} \quad \dots \quad (10)$$

ここに、 F_1, F_2 は Fig. 2 の要素の左端および右端に作用する変換後の座標系における節点力ベクトルである。 U_{11}, U_{12} は同様の節点変位ベクトルであり、その成分は次のように表される。

$$F_i^T = [N_i \ V_i \ M_{xi}] \quad i = 1, 2 \quad , \quad U_{li}^T = [w_i \ v_i \ \theta x_i] \quad l = 1, 2 \quad \dots \quad (11-a, b)$$

また、 Π は座標変換マトリックスであり、

$$\Pi = \begin{bmatrix} C & -S & 0 \\ S & C & 0 \\ 0 & 0 & 1 \end{bmatrix} \quad \dots \quad (12)$$

ここで、 $C = \cos(\psi/2n)$, $S = \sin(\psi/2n)$ 。式(10)のマトリックスの成分を求めると

$$K_{11} = \frac{EI_x}{(1+12\phi)l^3} \begin{bmatrix} \frac{A(1+12\phi)l^2}{I_x} C^2 + 12S^2 & -\frac{A(1+12\phi)l^2}{I_x} C \cdot S + 12C \cdot S & -6lS \\ -\frac{A(1+12\phi)l^2}{I_x} C \cdot S + 12C \cdot S & \frac{A(1+12\phi)l^2}{I_x} S^2 + 12C^2 & -6lC \\ -6lS & -6lC & (4+12\phi)l^2 \end{bmatrix}$$

$$[K]_{12} = [K]_{21}^T = \frac{EI_x}{(1+12\phi)\ell^3} \begin{bmatrix} -\frac{A(1+12\phi)\ell^2}{I_x} C^2 + 12S^2 & -\frac{A(1+12\phi)\ell^2}{I_x} C \cdot S - 12C \cdot S & -6lS \\ \frac{A(1+12\phi)\ell^2}{I_x} C \cdot S + 12C \cdot S & \frac{A(1+12\phi)\ell^2}{I_x} S^2 - 12C^2 & -6lC \\ -6lS & 6lC & (2+12\phi)\ell^2 \end{bmatrix}$$

$$[K]_{22} = \frac{EI_x}{(1+12\phi)\ell^3} \begin{bmatrix} \frac{A(1+12\phi)\ell^2}{I_x} C^2 + 12S^2 & \frac{A(1+12\phi)\ell^2}{I_x} C \cdot S - 12C \cdot S & -6lS \\ \frac{A(1+12\phi)\ell^2}{I_x} C \cdot S - 12C \cdot S & \frac{A(1+12\phi)\ell^2}{I_x} S^2 + 12C^2 & 6lC \\ -6lS & 6lC & (4+12\phi)\ell^2 \end{bmatrix}$$

----- (13. a ~ c)

外力の作用しない点, O ($z = 0$) から, $R\psi/n$

離れた点を A ($z = -R\psi/n$), B ($z = R\psi/n$)

とし、Fig. 4 に示す長さ $\ell = 2R \sin(\psi/2n)$
の 2 つの隣接要素に対し、O 点に作用する零節
点カベクトルの三成分と変位の成分との関係を
求める。R は中立点の曲率半径である。節点 O
でのフリーアイ式は要素 AO, OB の剛性方程式
を用いて次のように表わされる。

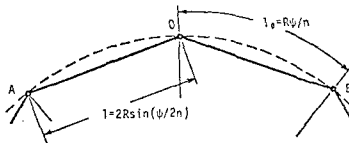


Fig. 4 Neighboring Elements

$$\begin{bmatrix} 0 \\ 0 \\ 0 \end{bmatrix} = [K_s] \begin{bmatrix} UI(-R\psi/n) \\ UI(0) \\ UI(R\psi/n) \end{bmatrix} \quad ----- (14)$$

ここに、 $[K_s]$ は 3×9 マトリックスであり、その内容を式 (15) に示す。

$$[K_s] = \frac{EI_x}{(1+12\phi)\ell^3} \begin{bmatrix} -\frac{A(1+12\phi)\ell^2}{I_x} C^2 + 12S^2 & \frac{A(1+12\phi)\ell^2}{I_x} C \cdot S + 12C \cdot S & -6lS & \frac{2A(1+12\phi)\ell^3}{I_x} C^2 + 24S^2 \\ -\frac{A(1+12\phi)\ell^2}{I_x} C \cdot S - 12C \cdot S & \frac{A(1+12\phi)\ell^2}{I_x} S^2 - 12C^2 & 6lC & 0 \\ -6lS & -6lC & (2+12\phi)\ell^2 & -12lS \\ 0 & -12lS & -\frac{A(1+12\phi)\ell^2}{I_x} C^2 + 12S^2 & -\frac{A(1+12\phi)\ell^2}{I_x} C \cdot S - 12C \cdot S & -6lS \\ \frac{2A(1+12\phi)\ell^2}{I_x} S^2 + 24C^2 & 0 & \frac{A(1+12\phi)\ell^2}{I_x} C \cdot S + 12C \cdot S & \frac{A(1+12\phi)\ell^2}{I_x} S^2 - 12C^2 & -6lC \\ 0 & (8+24\phi)\ell^2 & -6lS & 6lC & (2+12\phi)\ell^2 \end{bmatrix} \quad ----- (15)$$

UI を点 O のまわりで Taylor 展開すると、

$$UI(\pm \frac{R\psi}{n}) = UI(0) \pm UI'(0)(\frac{R\psi}{n}) + \frac{1}{2!} UI''(0)(\frac{R\psi}{n})^2 \pm \frac{1}{3!} UI'''(0)(\frac{R\psi}{n})^3 + \dots \quad (16)$$

式(14), (16)に現われる項には次の関係がある。

$$l_0 = R\varphi/m, \quad l = 2R \sin(\varphi/2m)$$

$$c = \cos(\varphi/2m) = 1 - \frac{1}{2}(l_0/2R)^3 + O(l_0^4)$$

$$s = \sin(\varphi/2m) = (l_0/2R) - \frac{1}{6}(l_0/2R)^3 + O(l_0^5)$$

$$\frac{1}{l} = \frac{1}{2R} \operatorname{cosec}(l_0/2R) = \frac{1}{l_0} + \frac{l_0}{24R^2} + O(l_0^3)$$

$$\frac{1}{l^2} = \frac{1}{l_0^2} + \frac{1}{12R^2} + O(l_0^2), \quad \frac{1}{l^3} = \frac{1}{l_0^3} + \frac{1}{8R^3l_0} + O(l_0)$$

----- (17)

式(16)を式(14)に代入し、式(17)の関係を用いて l_0 のべき順で整理して表わすと次式が求まる。

$$0 = l_0 [GA\left\{\frac{1}{R}\left(\frac{w}{R} - v' - \theta_x\right) + \frac{E}{G}\left(-w'' - \frac{v'}{R}\right)\right\}] + O(l_0^3)$$

$$0 = l_0 \left[GA\left\{\frac{w'}{R} - v'' - \theta'_x + \frac{E}{G}\frac{1}{R}\left(w' + \frac{v'}{R}\right)\right\} \right] + O(l_0^3)$$

$$0 = l_0 \left[-GA\left(\frac{w}{R} - v' - \theta_x + \frac{EI_x}{GA}\theta''_x\right) \right] + O(l_0^3)$$

----- (18-a~c)

分割要素数を無限大にする、すなはち l_0 を無限小になると式(18-a~c)から、次の3個の独立した式が得られる。

$$EA\left(w'' + \frac{v'}{R}\right) + EI_x \frac{\theta''_x}{R} = 0, \quad EA\left(w' + \frac{v}{R}\right) - EI_x \cdot R\theta''_x = 0$$

$$GA\left(\theta_x + v' - \frac{w}{R}\right) - EI_x \theta''_x = 0$$

式(19-a~c)は、1.2.導いた二次せん断変形を考慮した薄肉断面曲がりばりの変位表示のつり合い式のうち、面内問題に関する式(5-a,b,e)に一致する。

(2) 面外挙動

面外挙動に対する節点力成分を Fig. 5 に示す。これらの節点力を成分とする節点力ベクトル \mathbf{F}_i および対応する節点変位ベクトルを次のように定義する。

$$\mathbf{F}_i^T = [V_{xi} \quad M_{yi} \quad T_i \quad M_{ri}]$$

$$i = 1, 2 \quad \text{----- (20)}$$

$$\mathbf{U}_i^T = [U_i \quad \theta_{yi} \quad \psi_i \quad \lambda_{pi}]$$

$$i = 1, 2 \quad \text{----- (21)}$$

面内挙動と同様、各節点で部材軸から円弧状の接線方向に座標系を回転させると、式(20), (21)の節点力ベクトル、変位ベクトルに対する座標変換マトリックスは

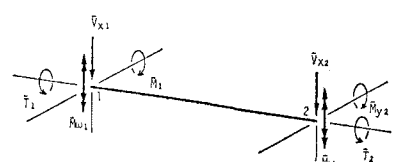


Fig. 5 Straight Beam Element for Out-of-plane Problem

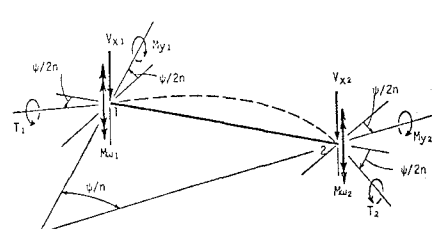


Fig. 6 Coordinate Transformation for Out-of-plane Problem

次のように表わされる。

$$T = \begin{bmatrix} 1 & 0 & 0 & 0 \\ 0 & C & S & 0 \\ 0 & -S & C & 0 \\ 0 & 0 & 0 & 1 \end{bmatrix} \quad \text{----- (22)}$$

面内問題と同様に、外力の作用しない点、隣接する二要素の剛性方程式を重ね合わせ、式(16)を式(14)に代入し、式(17)の関係を用いて l_0 のべき順で整理して表わすと次式が求まる。

$$\left. \begin{aligned} 0 &= l_0 \{ GA(-u'' + \theta_y') \} + \theta(l_0^3) \\ 0 &= l_0 \{ GA(-u' + \theta_y) - EI_y(\theta_y'' - \frac{\theta_y'}{R}) + \frac{GI_{po}}{R}(\varphi' + \frac{\theta_y}{R} - \lambda_y) + \frac{GJ_{st}}{R}\lambda \} + \theta(l_0^3) \\ 0 &= l_0 \{ \frac{EI_y}{R}(\frac{\theta_y}{R} - \theta_y') - GI_{po}(\varphi'' + \frac{\theta_y'}{R} - \lambda_y') - GJ_{st}\lambda_y' \} + \theta(l_0^3) \\ 0 &= -l_0 \{ GI_{po}(\varphi' + \frac{\theta_y}{R} - \lambda_y) - GJ_{st}\lambda_y - GJ_{st}(\varphi' + \frac{\theta_y}{R} - 2\lambda_y) + EI_w\lambda_y'' \} + \theta(l_0^3) \end{aligned} \right\} \quad \text{----- (23-a~d)}$$

分割要素数を無限大にする、すなはち l_0 を無限小にすると式(23.a~d)から、次の4個の独立した式が得られる。

$$\left. \begin{aligned} EI_w\lambda_y''' - GJ_{st}\lambda_y' - GJ_{st}(\varphi'' + \frac{\theta_y'}{R} - \lambda_y') + EI_y(R\theta_y'' - \varphi'') &= 0 \\ EI_w\lambda_y''' - GJ_{st}\lambda_y' - GJ_{st}(\varphi'' + \frac{\theta_y'}{R} - \lambda_y') - EI_y(\frac{1}{R}\theta_y' - \frac{1}{R^2}\varphi) &= 0 \\ u'' - \theta_y' &= 0 \\ GI_{po}(\varphi' + \frac{\theta_y}{R} - \lambda_y) + EI_w\lambda_y'' - GJ_{st}\lambda_y - GJ_{st}(\varphi' + \frac{\theta_y}{R} - 2\lambda_y) &= 0 \end{aligned} \right\} \quad \text{----- (24-a~d)}$$

式(24.a~d)は、1.2-導いた二次せん断変形を考慮した薄肉断面曲がりばかりの変位表示のつり合式のうち、面外問題に関する式(5.c, d, f, g)に一致する。

4. 数値計算例

曲線要素を用いた薄肉円弧ばかりの有限要素法による解と、直線要素による折れ線近似法の解とを比較するために、既成の論文⁶⁾において採用されているモデルを含め、実際に構造物として使用されるばかり全般について検討する目的で、固定アーチと二径間連続ばかりについて数値計算を行なう。

(1) 有限要素法

有限要素法で用いる曲線要素に対する剛性マトリックスとして、文献4)の仮想仕事式において、変位成分 w_c, u_s, v_s, φ_s に対し、変位関数を三次関数で近似し、求めたものを用いる。

(2) 数値計算

固定アーチについては面内荷重を、二径間連続ばかりについては面外荷重を作用させる。各モデルとも弦長を一定に保ち、曲率半径を変化させ、荷重載荷点における変位の厳密解への収束状況を見る。

用いる断面の形状、弧長および断面定数を Fig. 7 および Fig. 8 に示す。計算結果を Fig. 9 に示す。Fig. 9 のグラフ 2' は、着目する変位をその厳密解で除した値を縦軸に、分割要素数を横軸にとっている。図中の実線は曲線要素を用いた有限要素法解を示し、破線は直線要素を用いた折れ線近似解を示す。固定アーチに関しては、荷重にかかわらず曲率の大きな場合よりも小さな場合の方が厳密解への収束の速度は速く、曲線要素を用いた有限要素法よりも折れ線近似の方が良い収束性を示している。二径間連続ばかりに 2' では、有限要素法と折れ線近似とはほぼ同様な傾向を示し、2' の方法の間に著しい差異は認められない。

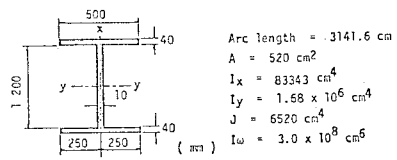


Fig. 7 Cross Section (1)

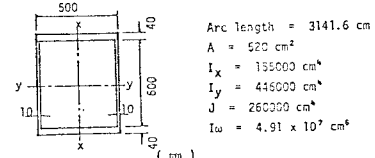
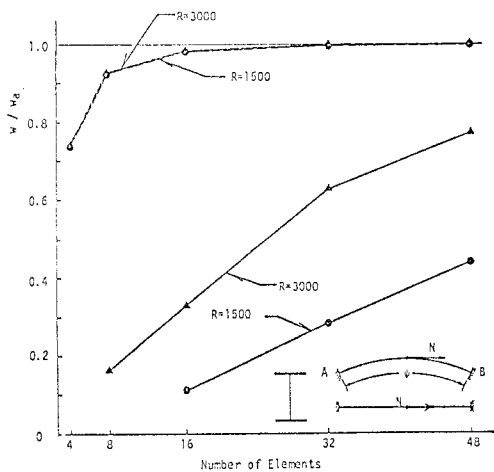
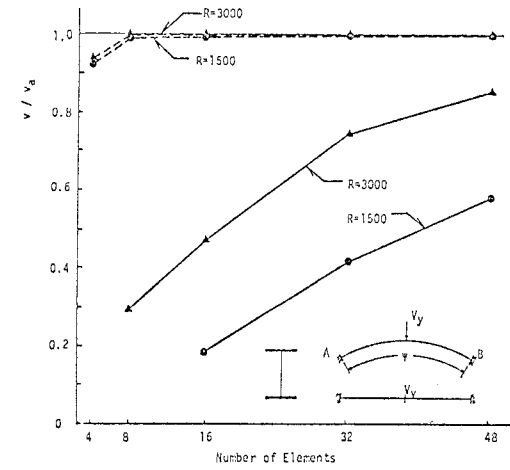


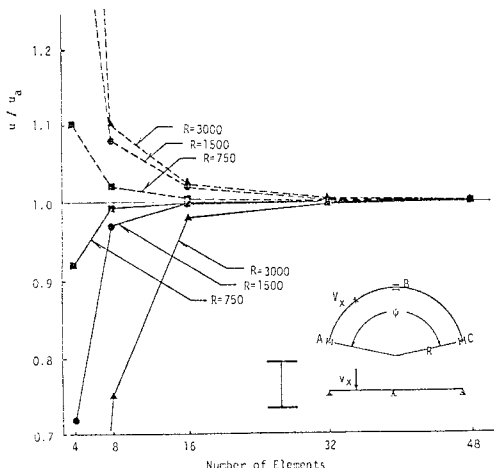
Fig. 8 Cross Section (2)



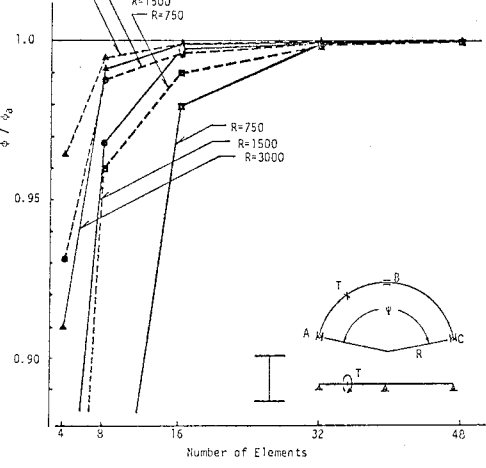
(a)



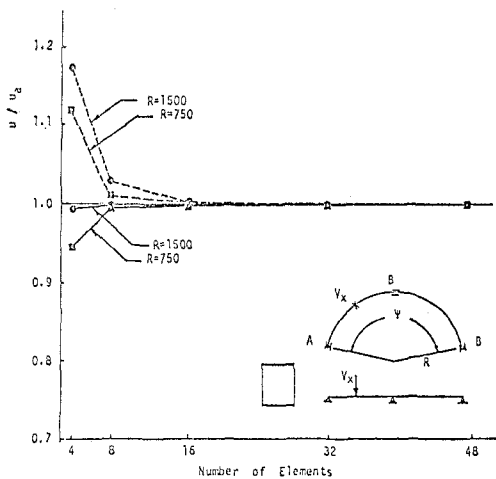
(b)



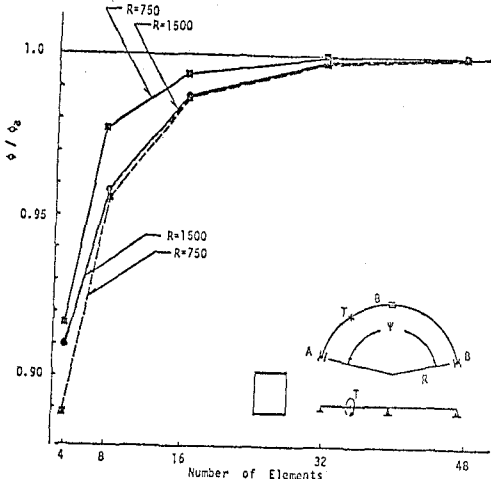
(c)



(d)



(e)



(f)

Fig. 9 Convergence of The Curved Beam Model and The Straight Beam Model

curved element
 straight element

5. 折曲線モデルの収束についての考察

本報告における折曲線近似法では、直線要素の剛性マトリックスとして、二次せん断変形を考慮したもの用い、二次せん断変形を考慮した曲がりばかりの支配方程式への収束を扱った。この演算に先立ち、二次せん断変形を考慮しない、謂ゆる初等ばかり理論における直線要素の剛性マトリックスを用いて初等曲がりばかりの支配方程式への収束を調べた所、面内問題に関しては式(5-a~c)のかわりに次の三式が得られた。

$$\left. \begin{aligned}
 \frac{w}{R} - v' - \theta_x &= 0 \\
 EA \left(w'' + \frac{v'}{R} \right) + \frac{EI_x}{R} \left(-v'' + \frac{w''}{R} \right) - \frac{EI_x}{R^2} \left(w'' + \frac{v'}{R} \right) &= 0 \\
 EI_x \left(\frac{w'''}{R} - v''' \right) - \frac{EA}{R} \left(w' + \frac{v}{R} \right) - \frac{EI_x}{R} \left(w'' + \frac{v''}{R} \right) &= 0
 \end{aligned} \right\} \quad \text{----- (25-a~c)}$$

式(25-a)は式(6-a)でせん断変形を表すすりき零とおいた式と一致することから明らかによううに\$\theta_x\$の定義式とは、2つである。式(25-a)を考慮すると式(32-b,c)の第一項、第二項は式(5-a,b)と一致する。したがつて式(25)が内弧ばかりの支配方程式と一致するためには式(25-b,c)の第三項が零となることが必要である。すなへう

$$\left(\frac{v}{R} + w' \right)' = \left(\frac{v}{R} + w' \right)'' = 0 \quad \text{----- (26)}$$

ここで考えている断面では\$y_c = y_s = 0\$となり、S点、C点での変位\$v_c\$と\$v_s\$は等しくこれらをひと表わした。同様に\$w_c\$を\$w\$と表わした。これらに注目すると式(26)は式(3-a)の右辺の最初の小括弧をもとぞれで1回および2回微分した項であることが解る。式(3-a)中のこの小括弧中の項は断面の中立点に働く軸方向力による軸方向ひずみを表わす。したがつて式(26)は中立点の不伸張、ある

いは中立点の軸方向ひずみ一定を表わしている。剛性方程式をもとに式(25)を導く過程で不用意にこのようないくつかの仮定に入る操作を行はったとも思われ、式(26)の拘束の意味が必ずしも明らかではない。面外問題についてもせん断変形を考えない剛性方程式をもとに同じ演算をするとその結果が式(5)と一致するためには

$$\frac{\theta_y}{R} + \psi' = 0 \quad \cdots \cdots (27)$$

の条件が必要となる。この項の意味も解明できないといふ。いずれにしても二次せん断変形を考慮した剛性方程式を用いるとこのような困難ではなく、容易に微分方程式と一致する結果が得られた。せん断変形を考えない内ゆるはり理論には著者の気付かぬ条件がくみ込まれており、その条件が式(26), (27)のような形で現われたのかとも考えられる。今後の検討課題としたい。

6. 考察および結語

二次せん断変形を考慮した直線ばりの剛性マトリックスを用いた折れ線近似法において、折れ線の数を無限に増やした時に円弧ばりの微分方程式に収束する事を示した。折れ線近似法を用いたとき、折れ線数と精度との関係の比較の対象として、曲線要素による有限要素法解における分割数と精度との関係を選んだ。有限要素法では変位関数を三次の多項式で近似したのに対し、折れ線近似法では直線部材要素の厳密な剛性マトリックスを用い幾何学的に形状を近似している。有限要素法の場合、一要素の剛性マトリックスを求める計算が非常に面倒であり、折れ線近似法の剛性マトリックスと較べて項数が多く、計算量が増えて不利である。数値計算では单一荷重を作用させたときの荷重に対応する載荷点の変位に着目して収束の度合いを検討した。面内荷重を作成させた場合(固定アーチ)は、同じ分割数に対して曲線要素による有限要素法に比して折れ線近似法が非常に良い近似を与える。一方、面外荷重を作成させた場合(連続ばり)は、有限要素法と折れ線近似法との間に著しい差異はない。有限要素法では、当然のことながら一点載荷の場合、荷重に対応する載荷点の変位は下界値を与える。すなはち、厳密解に対してつねに下方から収束する。それに対し、折れ線近似法は収束の方向を持たないが、このことが実用設計において特に問題となることはないであろう。

曲線要素による有限要素法と折れ線近似法との精度を検討した文献に、薄木・稼農の研究⁶⁾があり、そこではI形断面二径間連続内弧曲線ばりを16分割した時の荷重点におけるたわみに着目し、曲線要素による有限要素法のほうが折れ線近似法よりも精度が良いと結論を下してゐる。しかしながら、曲率や分割要素数を変化させて収束状況を全体的にみると、必ずしも曲線要素モデルの方が有利であるとは言えない。本報告で扱った例題の範囲では、折れ線近似モデルの方が様々な条件(拘束条件、曲率、荷重条件など)のもとで、コンスタントは収束性を持っており、また少しが分割数で良い近似度の解が得られた。

本研究は文部省科学研究費の補助を受けておこなったものである。

参考文献

1. Kikuchi, F.: On the validity of the finite element analysis of circular arches represented by an assemblage of beam element, Computer Methods in Applied Mechanics and Engineering, Vol.5, 1975, pp. 253-376.
2. 山本善元、山田善一：マトリクス構造解析の誤差論、コンピューターによる構造工学講座Ⅱ-5-B, 培風館, 1972.
3. Walz, J.E., R.E.Fulton and N.J.Cyrus: Accuracy and convergence of finite element approximations, Proc. of the Second Conf. on Matrix Methods in Structural Mechanics, 1962.
4. 西野文雄、深沢泰晴：以不計端の仮定に基づく薄肉曲がりばりの静的挙動の定式化, 土木学会論文報告集, No. 247, 1976-3, pp. 9 ~ 19.
5. 西野文雄、長谷川彰夫、名取悦郎：断面変形とせん断変形を考慮した長方形薄肉断面ばりの理論, 土木学会論文報告集, No. 248, 1976-4, pp. 25-40.
6. 薮木征三、櫻井知徳：薄肉断面曲線材の変形法による解析, 土木学会論文報告集, No. 235, 1975-3, pp. 29-39.

Analysis of Circular Members by An Assemblage of Straight Elements

by Toshio Suzuki*, Shinichiro Ueno** and Fumio Nishino***

Practical analyses of curved structural members are frequently made employing an approximate method. Approximate analyses of frequent use may be divided into two groups. One is to obtain approximate solution of the analytically exact governing equation and the other is to represent the structure to be analysed by a physically approximate model for which analytically exact solution can be easily obtained and then to solve it. Finite element method is one of the examples of the former, while analysis of curved members by an assemblage of straight elements is a representative example of the latter.

This report deals curved structures subject to biaxial bending moments, torsion and axial force. The convergence of the solution on physical models represented by assemblage of straight elements to that of the original curved structures is shown by making use of convergence of stiffness equation to the governing differential equation at the limit of increasing number of straight elements. Using the stiffness matrix considering shear deformations associated with variable moments and bi-moments, the stiffness equation converges to the governing differential equation of curved structures, while it turned out that the use of stiffness matrix neglecting the shear deformations resulted in the governing equation with additional constraints, of which meaning are not obvious.

Numerical solutions are obtained on arch type structures subjected to axial force and in-plane bending and on curved bridges subjected to out-of-plane bending and torsion by using both finite element approximation and physical approximation with straight elements. For arch type structures with the same number of mesh sizes, physical approximation resulted in much closer solutions to the exact ones on all ranges of the parameters varied for the examples. For curved bridges, no particular superiority was observed between two methods of approximation. Depending on the values of parameters of the examples, finite element approximation may result in closer solutions, while for the different values of the parameters, physical approximation results in better solution.

By the results of the numerical examples on convergence together with the simplicity and smaller amount of computation required to form stiffness matrices, it is concluded that physical approximation by assemblage of straight elements is superior to the finite element approximation of curved elements. This conclusion is further strengthened by the fact that curvature of practical curved structures is scarcely constant but it is variable along arc length, for which derivation of the stiffness matrix by finite element method is a rather involved task.

* Bridge Design Section, Nippon Kokan K.K.

** Ministry of Construction

*** Department of Civil Engineering, University of Tokyo